

## CT diagnosis of solid pseudopapillary tumor of the pancreas: a report of 16 cases

FAN Guang-ming<sup>1\*</sup>, SHEN Jin-dan<sup>1</sup>, SUN Hong-zan<sup>2</sup>, GUO Xiao-shan<sup>1</sup>, JIAO Jun<sup>1</sup>, WEN Wei<sup>1</sup>

(1. Department of Radiology, the Affiliated Hospital of Guiyang Medical College, Guiyang 550004, China;

2. Department of Radiology, the Second Affiliated Hospital, China Medical University, Shenyang 110004, China)

**[Abstract]** **Objective** To investigate the CT features of solid pseudopapillary tumor of the pancreas (SPTP). **Methods** Sixteen cases of SPTP proved by pathology were included. Their clinical data and CT images were retrospectively reviewed. **Results** Lesions located in the pancreatic head ( $n=7$ ), body ( $n=4$ ), tail ( $n=3$ ) or body-tail ( $n=2$ ) with the mean diameter of 7.40 cm. On plain CT scan, 3 lesions appeared cystic, 9 cystic-solid mixed, and 4 solid. Cystic lesions were well-defined, presenting as homogenous or heterogenous hypo-attenuation mass. Cystic-solid mixed lesions contained similar proportion of solid and cystic regions. Cystic regions showed patchy or alveolate pattern. Solid lesions were mainly composed of soft tissue with a few scattered cystic regions. After contrast administration, the wall of cystic lesion demonstrated more enhancement during portal phase as compared with arterial phase. The solid components in cystic-solid mixed lesion and solid lesion presented as mild enhancement during arterial phase and marked enhancement during portal phase. No enhancement was observed in cystic regions during both phases. **Conclusion** There are some typical CT features of SPTP.

**[Key words]** Solid pseudopapillary tumor; Pancreatic neoplasms; Tomography, X-ray computed

## 胰腺实性假乳头状瘤的 CT 诊断(附 16 例报告)

范光明<sup>1\*</sup>, 沈金丹<sup>1</sup>, 孙红贊<sup>2</sup>, 郭晓山<sup>1</sup>, 焦俊<sup>1</sup>, 文伟<sup>1</sup>

(1. 贵阳医学院附属医院放射科, 贵州 贵阳 550004; 2. 中国医科大学附属第二医院放射科, 辽宁 沈阳 110004)

**[摘要]** 目的 探讨胰腺实性假乳头状瘤(SPTP)的CT表现。方法 回顾性分析经手术病理证实且临床和CT资料完整的SPTP患者16例。结果 7例SPTP病灶位于胰头,4例位于胰体,3例位于胰尾,2例胰体尾部均受累,平均最大径7.40cm。CT表现:平扫病灶呈囊性(3例)、实性(4例)或囊实混合性(9例)。囊性病灶边界清楚,呈均匀或不均匀的低密度;实性病灶则呈软组织密度,内见少许散在的囊变区;囊实混合性病灶其囊变区和实性区大致相当,囊变区呈片状或蜂窝状。增强扫描中囊性病灶的囊壁在动脉期即开始强化,门静脉期强化更明显。实性病灶及囊实混合性的实性成分在动脉期仅为轻度强化,门静脉期强化程度增加,囊变区始终不强化。结论 SPTP的CT表现具有一定的特征性。

**[关键词]** 实性假乳头状瘤;胰腺肿瘤;体层摄影术,X线计算机

**[中图分类号]** R445.3; R735.9 **[文献标识码]** A **[文章编号]** 1003-3289(2009)02-0260-03

胰腺实性假乳头状瘤(solid pseudopapillary tumor of the pancreas, SPTP)在临幊上比较罕见,易误诊为无功能性胰岛细胞瘤或胰腺囊腺瘤。本文收集16例经手术病理证实的SPTP病例,回顾性分析这些病例的临幊和CT资料,探讨其影像特征,以期提高该病的诊断准确率。

### 1 资料与方法

1.1 一般资料 16例SPTP病例分别来自于贵阳医学院附属

医院、贵州省肿瘤医院及中国医科大学附属第二医院。其中男1例,女15例,年龄11~58岁,中位年龄26.2岁。9例因上腹痛或不适而就诊;6例由患者自己或体检时发现腹部包块,无明显症状;1例由于顽固性高血压而由B超发现胰腺占位。病程最短1天,最长8年。除1例合并有黄疸外,其余病例血胆红素水平平均正常。所有患者的血糖及肿瘤标记物(CEA、CA19-9、CA125)均在正常范围内。

1.2 检查方法 患者禁食8h以上,检查前常规口服清水或2%的对比剂800~1000ml。所有的病例均先接受平扫,扫描范围上至膈顶下至髂骨嵴水平。对12例患者加行增强CT扫描,对比剂为100ml优维显(300mgI/ml),注射流率3~4ml/s,动脉期延迟25s,门脉期延迟60s,层厚及层间距为3~

**[作者简介]** 范光明(1975~),男,湖北浠水人,博士,副教授。研究方向:肿瘤影像诊断。

**[通讯作者]** 范光明,贵阳医学院附属医院放射科,550004。

E-mail: gymc\_fgm@yahoo.com.cn

**[收稿日期]** 2008-10-27 **[修回日期]** 2008-12-04

5 mm, 螺距 1~1.5。

## 2 结果

**2.1 病变部位、大小和形态** 肿瘤均为单发, 位于胰头部 7 例, 胰体部 4 例, 胰尾部 3 例, 体尾部均受累 2 例。肿瘤最大径 3.5~16.8 cm, 平均 7.4 cm。除 1 例病灶直径为 3.5 cm 外, 其余病灶直径均大于 5.0 cm。11 例肿瘤呈圆形或类圆形, 4 例为分叶状, 1 例为半月形。除 1 例外, 其余肿瘤均有包膜, 厚约 2.0~7.0 mm。

**2.2 CT 表现** 囊性 3 例, 病灶大部分为囊变区(图 1), 平扫与正常胰腺分界清楚, 密度均匀或不均匀, CT 值 16~29 HU, 周围由包膜构成厚薄均匀的囊壁; 实性 4 例, 病灶均以软组织为主, 平扫密度等于或略低于正常胰腺组织, CT 值约 28~44 HU, 其内可见少许散在的囊变区, 以中心分布为主; 囊实混合性 9 例, 病灶内的囊性成分和实质性成分大致相当(图 2), 囊变区呈片状或蜂窝状。对 12 例加行增强扫描, 其中囊性 2 例, 实性 2 例, 囊实混合性 8 例。囊性病灶的囊壁在动脉期即开始强化, 强化程度与正常胰腺类似, 门静脉期强化更加明显。实质性病灶及囊实混合性的实质性成分在动脉期仅为轻度强化, 门静脉期强化程度较动脉期增加, 部分实质性病灶的强化范围尚可见扩大。这 3 型在增强后边界均较平扫清楚, 内部的囊变区始终不强化。

**2.3 继发性改变** 除 1 例位于胰头部的实质性病灶引起胆道系统扩张外, 其余病例均未见胆管及胰管扩张征象。11 例肿瘤压迫胃后壁或十二指肠降段内侧壁, 4 例肿瘤周围的血管受推压, 但血管周围的脂肪层仍存在。所有病例均未见肝脏转移及腹膜后淋巴结肿大。

## 3 讨论

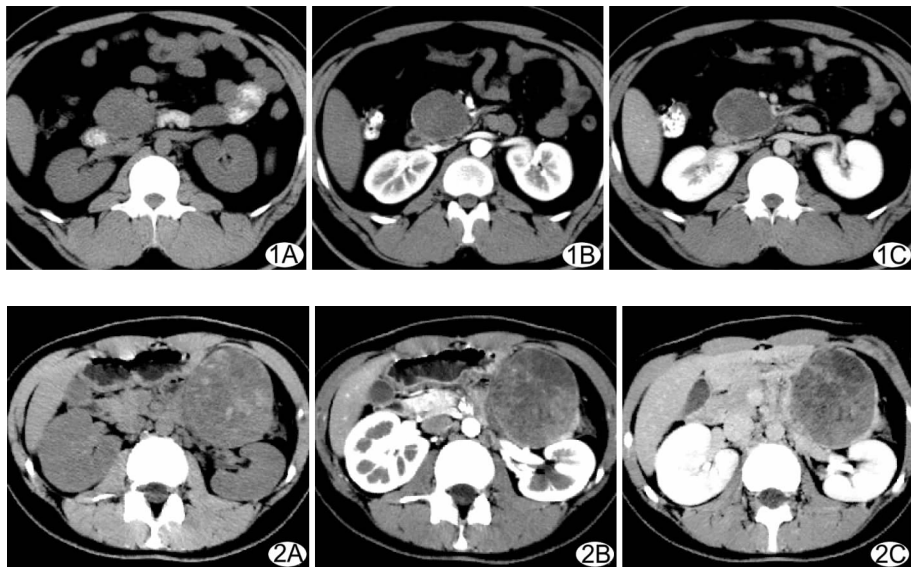


图 1 女, 24岁, 胰头部实质性假乳头状瘤 A. 平扫显示肿瘤位于胰头部, 呈均匀略低密度, 与肠系膜上动、静脉分界清楚; B. 动脉期, 病变包膜轻度强化, 内部不强化; C. 门静脉期, 包膜强化较动脉期明显, 囊内隐约可见小片状软组织密度  
图 2 女, 16岁, 胰尾部实质性假乳头状瘤 A. 平扫显示肿瘤位于胰尾部, 呈囊实混合性, 内见多发小片状出血; B. 动脉期, 肿瘤的包膜及实质性成分轻度强化; C. 门静脉期, 包膜及实质性成分强化更明显, 囊变区始终不强化

SPTP 发病率低, 仅占胰腺外分泌肿瘤的 1%~2%。最早由 Frantz 于 1959 年报道, 1996 年 WHO 正式将其统一命名为胰腺实性假乳头状瘤<sup>[1-2]</sup>。SPTP 起源及发病机制目前尚不清楚, 部分学者推测可能起源于胰腺的多潜能干细胞<sup>[3]</sup>。

**3.1 临床特点** 本病好发于年轻女性及青少年。本组病例中, 女性占 94%, 平均年龄为 26.2 岁, 与文献报道基本相符。由于生长缓慢, SPTP 的临床表现不一, 且缺乏特异性。实验室检查肿瘤标记物均在正常范围。本组 16 例中, 除 1 例出现黄疸外, 其余病例均未见黄疸征象, 提示本病与胰腺癌具有明显不同的生物学行为。

SPTP 可发生于胰腺的任何部位, 但以胰头部多见, 偶可位于腹膜后而与胰腺无关, 甚至位于肝脏<sup>[4-5]</sup>。SPTP 直径往往超过 10 cm, 常有明显的边界, 周围组织多受挤压而移位<sup>[6]</sup>。本组资料显示, 当肿瘤位于胰头部时会引起肠系膜上动、静脉或十二指肠降段内侧壁推压改变, 位于胰体部时多引起胃后壁或脾静脉移位。文献报道<sup>[7]</sup>多数 SPTP 为良性, 仅 10%~15% 为恶性, 可侵犯邻近组织并发生腹腔种植或转移到淋巴结、肝脏。本组仅 1 例实质性 SPTP 与胃壁分界不清, 术后病理提示胃壁受侵犯, 血管内瘤栓形成。

**3.2 CT 表现** SPTP 根据其内部结构可以分为囊性、实性和囊实混合性。本组 16 例中, 以囊实混合性最多见, 其次为实质性, 而囊性最少见。Cantisani 等<sup>[3]</sup>认为肿瘤内出血为 SPTP 区别于其他胰腺肿瘤的重要特征。由于受密度分辨率的限制和出血时间的影响, CT 对陈旧性出血并不敏感。本组病例中, 仅在 1 例囊实混合性病灶内发现多发小片状高密度区, 术后病理证实为瘤体内新鲜出血。文献报道<sup>[8]</sup>30% 的 SPTP 可见细条状或斑点状钙化, 且以边缘区多见。本组 16 例中未见有钙化者。

在增强扫描时, 囊性病灶的囊壁在动脉期开始强化, 强化程度与正常胰腺类似, 门静脉期强化程度增加; 囊实混合性病灶强化不均匀, 其实质性成分在动脉期仅为轻度强化, 门静脉期较动脉期强化明显; 实性病灶强化方式大致可分成两型: ① 动脉期从周边开始强化, 门静脉期逐渐向中央扩展<sup>[3]</sup>; ② 动脉期出现整个病灶不均匀强化, 内部甚至出现肿瘤血管<sup>[9]</sup>。前者有一定的特征性, 与肿瘤具有类似于海绵状血管瘤的血窦有关<sup>[4]</sup>。肿瘤血管比较少见, 以恶性者居多。

SPTP 由于生长缓慢且质地较软, 即使位于胰头部, 也很少会引起胆管或胰管扩张<sup>[10]</sup>。本组 7 例位于胰头部的病变中, 仅 1 例可见胆管扩张征象。巨大的 SPTP 往往会引起周围结构如胃、十二指肠、血管受压移位, 但这些组织或器官周围的脂肪层往往存在, 提示肿瘤并非浸润性生长。结合

文献<sup>[1,10-11]</sup>,笔者认为当出现下列征象时要考虑为恶性肿瘤:

①病灶边界不清并突破包膜侵犯胰腺实质;②周围的血管或邻近的器官被侵犯;③胰周淋巴结转移性肿大;④出现肝脏、腹膜、卵巢、皮下等部位的转移。

**3.3 鉴别诊断** SPTP在影像上需与胰腺假性囊肿、胰岛细胞瘤、胰腺囊腺瘤、胰腺癌相鉴别:①胰腺假性囊肿:常有胰腺炎病史,多呈圆形或类圆形,无分叶状改变,囊壁较薄,囊内无附壁结节,极少有分隔<sup>[12]</sup>;②胰岛细胞瘤:无功能性胰岛细胞瘤体积往往较大,其内部也可以发生囊变,从而与SPTP类似。但该病无女性好发的趋势,且动态增强后,与正常胰腺实质相比,其内的实质性部分早期强化非常明显<sup>[10]</sup>;③胰腺囊腺瘤:好发于中老年女性,其中浆液性囊腺瘤常为多囊,病灶中央出现日光放射状钙化是其特征性表现。黏液性囊腺瘤多为较大的单囊,但囊内可有粗细不等的分隔,囊壁或囊内可见壳状或不规则形钙化<sup>[10]</sup>;④胰腺癌:多见于老年男性,恶性度高。由于肿瘤组织乏血供,容易坏死而囊变。其特点是癌性病变常位于胰实质轮廓内,边缘模糊,与正常胰腺多分界不清。坏死的囊变区常为不规则形,也有少数呈类圆形,增强扫描时在囊变的周围有轻度强化<sup>[12]</sup>。此外,胰腺癌易引起远端胰腺萎缩、胰管和胆管扩张,侵犯周围的组织器官,或转移到肝脏及胰周淋巴结。

### [参考文献]

- [1] Coleman KM, Doherty MC, Bigler SA. Solid pseudopapillary tumor of the pancreas. Radiographics, 2003, 23(6): 1644-1648.
- [2] Ulusan S, Bal N, Kizilkilic O, et al. Case report: solid-pseudopapillary tumor of the pancreas associated with dorsal agenesis. Br J Radiol, 2005, 78(929): 441-443.
- [3] Cantisani V, Mortele KJ, Levy A, et al. MR imaging features of solid pseudopapillary tumor of the pancreas in adult and pediatric patients. AJR Am J Roentgenol, 2003, 181(2): 395-401.
- [4] Miao F, Zhan Y, Wang DB, et al. CT diagnosis of solid-pseudopapillary tumors of the pancreas. Chin J Radiol, 2003, 37(5): 417-421.  
缪飞,展颖,汪登斌,等.胰腺实质性假乳头状瘤的CT诊断和鉴别诊断.中华放射学杂志, 2003, 37(5): 417-421.
- [5] Li JC, Liu SL, Shi S, et al. Value of ultrasound in diagnosis and type of solid-pseudopapillary tumor of the pancreas. Chin J Ultrasonogr, 2005, 14(7): 526-528.  
李吉昌,刘绍玲,石珊,等.胰腺实质性假乳头状瘤的超声诊断与分型价值的探讨.中华超声影像学杂志, 2005, 14(7): 526-528.
- [6] Zhao YP, Hu Y, Liao Q, et al. The diagnosis and treatment of solid-pseudopapillary tumor of the pancreas. Chin J Surg, 2005, 43(1): 53-55.  
赵玉沛,胡亚,廖泉,等.胰腺实质性假乳头状瘤的诊断和治疗.中华外科杂志, 2005, 43(1): 53-55.
- [7] Shao CH, Hu XG, Zheng JM, et al. Diagnosis and surgical management of solid-pseudopapillary tumors of pancreas. Chin J Pract Surg, 2007, 27(5): 398-400.  
邵成浩,胡先贵,郑建明,等.胰腺实质性假乳头状瘤的诊断和治疗.中国实用外科杂志, 2007, 27(5): 398-400.
- [8] Buetow PC, Buck JL, Pantongrag-Brown L, et al. Solid and papillary epithelial neoplasm of the pancreas: imaging-pathologic correlation on 56 cases. Radiology, 1996, 199(3): 707-711.
- [9] Sun CH, Li ZP, Meng QF, et al. Analysis of the value of imaging in diagnosing pancreatic solid-pseudopapillary tumor. Journal of Diagnostic Imaging and Interventional Radiology, 2007, 16(6): 264-267.  
孙灿辉,李子平,孟俊非,等.影像学诊断胰腺实质性假乳头状瘤的分析.影像诊断与介入放射学, 2007, 16(6): 264-267.
- [10] Shi X, Zeng MS, Zhang ZY, et al. Solid pseudopapillary tumor of the pancreas: correlation of imaging appearances vs pathological findings. Radiol Practice, 2006, 21(11): 1162-1165.  
史讯,曾蒙苏,张志勇,等.胰腺实质性假乳头状瘤影像学诊断与病理对照分析.放射学实践, 2006, 21(11): 1162-1165.
- [11] Choi JY, Kim MJ, Kim JH, et al. Solid pseudopapillary tumor of the pancreas: typical and atypical manifestations. AJR Am J Roentgenol, 2006, 187(2): W178-186.
- [12] Xie SF, Liang CH, Zhang ZL, et al. Solid-pseudopapillary tumor of the pancreas: CT and MRI diagnosis. Chin J Med Imaging Technol, 2006, 22(5): 751-753.  
谢淑飞,梁长虹,张忠林,等.胰腺实质性假乳头状瘤CT和MRI诊断.中国医学影像技术, 2006, 22(5): 751-753.